

цинка (0,3–0,8 мг/л), рубидия (0,06 мг/л), кобальта (0,012 мг/л), бария (0,3–0,5 мг/л), молибдена (0,01 мг/л), йода (1,0–4,0 мг/л), а также брома, лития, цезия, никеля, сурьмы и свинца.

Как видно из вышеизложенного, местоположение выявленных геотермических аномалий пространственно совпадает с установленными гидрогеохимическими аномалиями, из чего можно сделать вывод о приуроченности положительных температурных аномалий к очагам разгрузки глубоких вод по зонам трещиноватости и разломов.

Наличие на площади Донбасса положительных температурных аномалий, их совпадение с гидрогеохимическими аномалиями и приуроченность к зонам разломов является доказательством решающей роли зон глубинных разломов в тепло- и массопереносе региона, может служить для картирования глубинных разломов, а также поисковым признаком на скрытое оруденение.

Изучение геотермических аномалий имеет также важное экологическое значение, так как, во-первых, наличие высоких температур усложняет условия разработки угольных пластов, во-вторых, нарушает равновесие в системе «порода–вода» увеличивает растворимость большинства токсичных компонентов подземных вод, что приводит к вторичному загрязнению подземной гидросферы.

Библиографический список

1. Буцик Ю.В. Закономерности изменения геотермического поля Донецкого бассейна и природа его аномалий // Геологический журнал. — 1987. — Т.47. — № 2. — С.41–45.
2. Суярко А.В. К вопросу о разгрузке вод глубоких горизонтов Украинской части Большого Донбасса // Тезисы докладов конференции «III Степановские чтения». — Артемовск, 1969. — С. 209–212.
3. Шевченко О.А., Суярко В.Г. Гидрогеохимия зон глубинных разломов Донбасса // Науковий вісник НГА України, 2000. — № 3. — С. 56–57.

© Шевченко О.А., 2001

УДК 622.24.06

Давиденко А.Н. (НГА Украины, Днепропетровск)

ИССЛЕДОВАНИЕ ВЛИЯНИЯ ПРОМЫВОЧНЫХ ЖИДКОСТЕЙ НА УСТОЙЧИВОСТЬ СТВОЛА СКВАЖИНЫ

Поддержание стенок от обрушения является одной из основных задач, которые приходится решать при сооружении скважин. Неустойчивость ствола может проявляться по-разному: мягкие пластичные породы выдавливаются в ствол скважины, обваливаются и осыпаются; твердые хрупкие породы подвержены обрушению под действием статических и гидродинамических нагрузок. Все это приводит к увеличению поперечного размера ствола, образованию пробок и заполнению отдельных интервалов породой во время спускоподъемных операций. Эти осложнения сильно влияют на продолжительность и стоимость сооружения скважин.

Различные формы неустойчивости ствола, возникающие в результате взаимодействия между промывочной жидкостью и глинистыми породами, обязательно связаны с явлениями гидратации. Возможны два механизма адсорбции воды на глинистых частицах: адсорбция мономолекулярных слоев на плоских поверхностях кристаллических решеток частиц, которая обычно называется кристаллическим набуханием, или поверхностной гидратацией, и осмотическое набухание, происходящее

вследствие высокой концентрации ионов, удерживаемых электростатическими силами вблизи поверхности глинистых частиц [1].

Рассмотрим классификационную схему Франк-Каменецкого, согласно которой глинистые минералы разделяются на четыре основных кристаллохимических типа — три слоистых и один слоисто-ленточный [1, 2]. Слоистые структуры отличаются друг от друга количеством тетраэдрических и октаэдрических сеток в слое: тип 1:1 — в элементарном пакете одна двумерная сетка кремнекислородных тетраэдров сочленена с сеткой Al^+ или Mg^+ октаэдров; тип 2:1 — сетка октаэдров заключена между двумя сетками тетраэдров; тип 2:1:1 — каждый элементарный слой типа 2:1 сочленен с октаэдрической сеткой; тип слоисто-ленточной структуры — две сдвоенные (пальгорскит) или строенные (сепиолит) кремнекислородные цепочки пироксенового типа соединяются друг с другом в ленты катионами Mg^{2+} и Al^{3+} в октаэдрической координации.

В качестве объектов исследований были использованы натриевый монтмориллонит, пальгорскит и гидрослюда Черкасского месторождения. Химический состав объектов определяли с помощью обычных аналитических методов анализа силикатных пород. Установлено, что глинистые минералы отличаются друг от друга способом их сочленения в пакеты, природой и энергией связи между последними, характером заселения тетраэдрической и октаэдрической сеток и целым рядом других особенностей. Все это обуславливает разнообразие коллоидно-химических свойств отдельных представителей. Для определения адсорбционных характеристик глинистых минералов использовали изотермы адсорбции метанола и воды.

В табл. 1 и на рис. 1, 2 приведены результаты лабораторных исследований адсорбционных свойств и определения предельных адсорбционных объемов V_s глинистых минералов.

Табл. 1. Предельные адсорбционные объемы (V_s) глинистых минералов

№№ пп	Глинистый минерал	V_s , см ³ /г	
		Вода	Метанол
1	Черкасский монтмориллонит	0,3	0,32
2	Черкасская гидрослюда	0,25	0,3
3	Черкасский пальгорскит	0,45	0,48

Как показали результаты исследований, изотермы адсорбции имеют S-образный вид. Адсорбция сопровождается расширением адсорбента, а значит, суммарная свободная интегральная энергия адсорбции должна рассматриваться как состоящая из двух членов — молярной свободной энергии адсорбции и свободной энергии, связанной с расширением сорбента (работа расширения).

Адсорбция воды на натриевом монтмориллоните вызывает значительное увеличение его объема, но вода на поверхности глины удерживается слабо. У пальгорскита адсорбция воды сопровождается кристаллическим и осмотическим набуханием. Для гидрослюдистых глин отмечено только кристаллическое набухание.

Присутствие в составе промывочной жидкости химических веществ может существенно влиять на характер адсорбционных процессов. Для выбора веществ, способных вытеснить с поверхности глинистых пород адсорбированную воду, автором работы предложено использовать условие равенства потенциалов ионизации адсорбента и адсорбата.

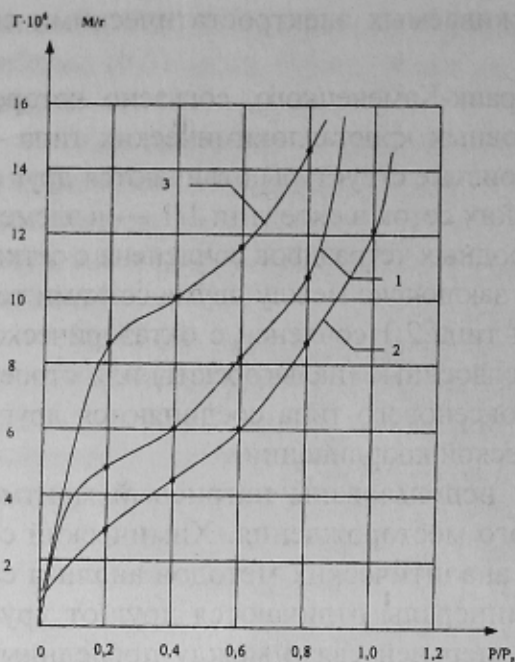


Рис. 1. Изотермы адсорбции воды при 20°C на: 1 — палыгорските; 2 — гидрослюдистой глине; 3 — монтмориллоните (Черкасское месторождение)

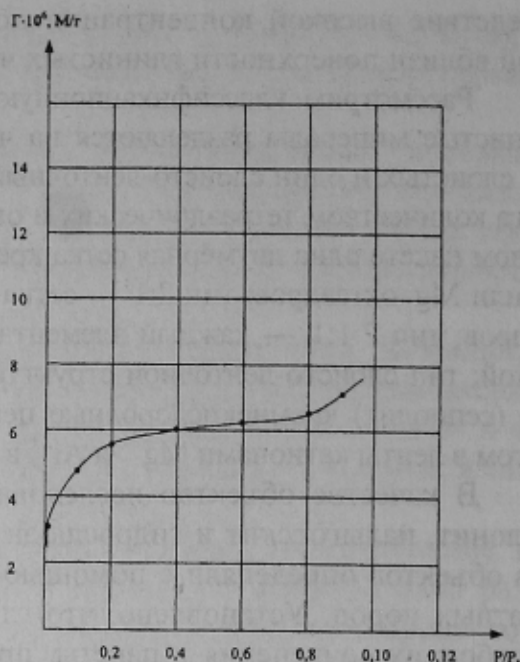


Рис. 2. Изотерма адсорбции метанола на черкасском монтмориллоните

На рис. 3 приведена зависимость адсорбции на глинистом сланце органических веществ от их потенциалов ионизации, приведенных в табл. 2. В результате проведенных исследований установлено, что величина резонансного потенциала ионизации равна 8,3 эВ.

Табл. 2. Органические соединения и их первые потенциалы ионизации

№	Соединения	I, эВ	№	Соединения	I, эВ
1	Бензидин	6,88	23	2-Пиколин	9,02
2	N,N-Диметиланилин	7,14	24	1,4-Нафтохинон	9,56
3	Дифениламин	7,25	25	p-Бромдиметиланилин	7,05
4	I-Нафтиламин	7,30	26	Бензамид	9,40
5	M-Толудин	7,50	27	2,5-Динитробензойная кислота	10,70
6	Анилин	7,70	29	Пирокахетин	8,07
7	I-Нафтол	7,75	30	Пикриновая кислота	10,20
9	Пирогалол	8,00	31	2,4 -Динитротолуол	10,15
10	p-Креозол	8,24	32	p-Нитробензальдегид	10,30
11	Резорцин	8,31	33	Нитрометан	11,23
12	Фенол	8,50	34	Нитробензол	9,85
13	Хинолин	8,62	35	1,4-Динитробензол	10,44
14	Фурфурол	9,21	36	Акрлонитрил	10,90
15	Пиридин	9,30	37	2-нитро-2метилпропан	10,70
16	Бензойная кислота	9,40	38	2-Аминопиридин	8,34
17	Бензальдегид	9,51	39	Анизол	8,22
18	Бензонитрил	9,71	40	Дибензфуран	7,90
19	m-Нитробензойная кислота	10,30	41	Дифениленоксид	8,09
20	m-Метилнафталин	7,96	42	Индол	7,74
21	Флорглюцин	7,87	43	Диметилхиналин	8,34
22	2,6-Лутидин	8,86	44	Анисовый альдегид	8,73

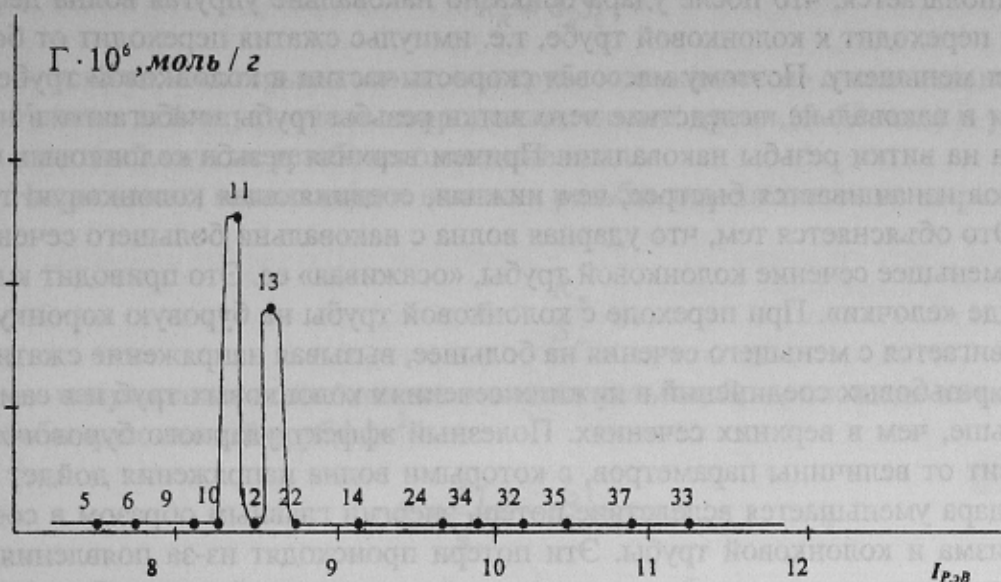


Рис. 3. Зависимость адсорбции на глинистом сланце органических веществ от их потенциалов ионизации (нумерация точек соответствует табл. 2)

Изучение адсорбции анилина ($I=7,7$ эВ), резорцина ($I=8,31$ эВ) и бензойной кислоты ($I=9,4$ эВ) позволило сделать вывод о том, что хемосорбировать на глинистом сланце способен лишь резорцин, образующий с поверхностью химическую связь более прочную, чем водородная связь молекул воды, подобную ковалентной.

Библиографический список

1. Сеид-Рза М.К., Исмайылов М.И., Орман Л.М. Устойчивость стенок скважины. — М.: Недра, 1981. — 175 с.
2. Круглицкий Н.Н. Физико-химические основы регулирования свойств дисперсий глинистых минералов. — Киев: Наукова думка, 1968. — 320 с.

© Давиденко А.Н., 2001

УДК 622.233.4

ПИЛИПЕЦ В.И., МАКАРОВА Е.В. (ДонГТУ)

ПОВЫШЕНИЕ МОТОРЕСУРСА УДАРНЫХ МЕХАНИЗМОВ ДЛЯ БУРЕНИЯ

При ударно-вращательном бурении гидроударниками большого диаметра сила удара, передаваемая бойком через колонковый набор горной породе, составляет от 10 до 20 кН. Упругая волна деформации распространяется к колонковому набору через ряд промежуточных элементов (деталей) гидроударника, связанных между собой резьбовыми соединениями, поэтому моторесурс гидроударника и колонкового набора зависит от правильного выбора типа и параметров резьб. Особенно это актуально при бурении твердых пород, когда колонковому набору передается значительная сила удара, вызывающая в резьбах огромные контактные напряжения (до 30 МПа).

В процессе лабораторных и производственных испытаний снаряда ударно-вращательного бурения диаметром 108 мм (диаметр бурения 112 мм) конструкции ДонГТУ наблюдались случаи поломки резьбовых соединений. Поэтому возникла необходимость разработки методики выбора резьб и расчета резьбовых соединений, в которой использованы материалы исследований И.Г.Шелковникова (Санкт-Петербург).